

Analyse Grande Echelle de Données 3D

LabeX Bezout
Math/info pour la ville
2022

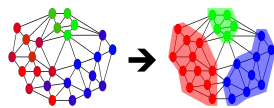
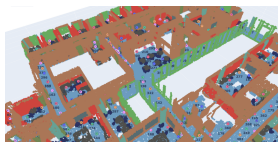
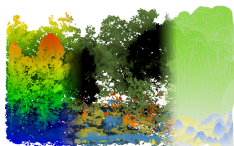
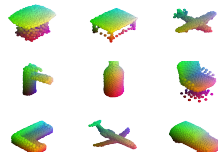
Loic Landrieu

IGN - LASTIG - ENSG - UGE



Présentation

- **Loic Landrieu:** chercheur en apprentissage / vision à l'IGN.
 - **3D data:** indoor, urbain, inventaire forestier
 - **3D Dynamique:** conduite autonome (ANR ReADy3D)
 - **Séries Temporelles:** occupation des sols
 - **Optimization:** problèmes inverses, graphes
 - Program Chair d'ISPRS Congress



- 1 Motivation
- 2 Approche Traditionnelle
- 3 Apprentissage Profond pour la 3D
- 4 Passage à l'échelle

1 Motivation

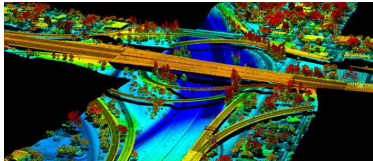
2 Approche Traditionnelle

3 Apprentissage Profond pour la 3D

4 Passage à l'échelle

Nuage de Points 3D

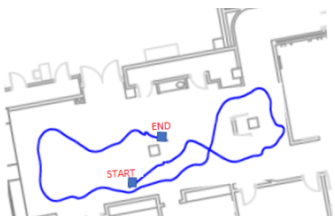
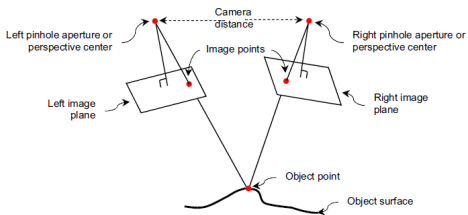
- Nuage de points 3D: $[x_i, y_i, z_i] \in \mathbb{R}^{N \times 3}$
+ radiométrie



Thevara et al 2019, mathworks, renishaw.fr,
tuck mapping

Nuage de Points 3D

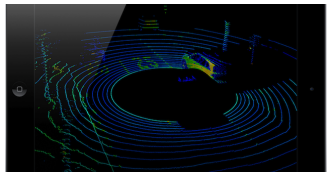
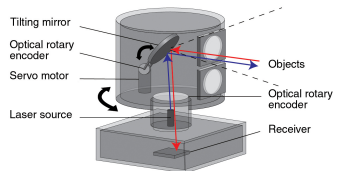
- Nuage de points 3D: $[x_i, y_i, z_i] \in \mathbb{R}^{N \times 3}$
+ radiométrie
- Comment obtenir un nuage de points?:
 - **Photogrammetry:** stereovision, SLAM, Surface from Motion



Thevara et al 2019, mathworks, renishaw.fr,
tuck mapping

Nuage de Points 3D

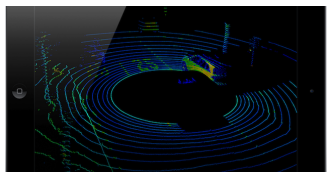
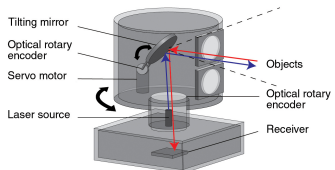
- Nuage de points 3D: $[x_i, y_i, z_i] \in \mathbb{R}^{N \times 3}$
+ radiométrie
- Comment obtenir un nuage de points?:
 - **Photogrammetry**: stereovision, SLAM, Surface from Motion
 - **LiDAR**: active sensor with lasers



Thevara et al 2019, mathworks, renishaw.fr,
tuck mapping

Nuage de Points 3D

- Nuage de points 3D: $[x_i, y_i, z_i] \in \mathbb{R}^{N \times 3}$
+ radiométrie
- Comment obtenir un nuage de points?:
 - **Photogrammetry**: stereovision, SLAM, Surface from Motion
 - **LiDAR**: active sensor with lasers
- Avantages et inconvénients:
 - capture la géométrie, gestion des occlusions
 - capteurs spécialisés et/ou post processing, format complexe



Thevara et al 2019, mathworks, renishaw.fr,
tuck mapping

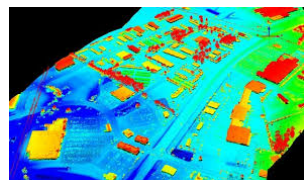
Analyse 3D: Domaine Très Dynamique

- **Accessibilité** des données 3D:
 - méthodes stéréo performante
 - LiDAR précis & abordables



credit: velodynelidar, green car congress

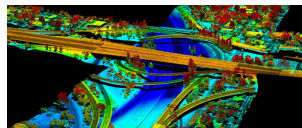
- **Accessibilité** des données 3D:
 - méthodes stéréo performante
 - LiDAR précis & abordables
- Forte **demande** d'analyse automatique.
 - Conduite autonome
 - Jumeaux numérique
 - Réalité virtuelle/augmentée
 - Surveillance environnementales
 - Patrimoine digital / télé-archéologie



credit: velodynelidar, spar3d

Analyse 3D: Domaine Très Dynamique

- **Accessibilité** des données 3D:
 - méthodes stéréo performante
 - LiDAR précis & abordables
- Forte **demande** d'analyse automatique.
 - Conduite autonome
 - Jumeaux numérique
 - Réalité virtuelle/augmentée
 - Surveillance environnementales
 - Patrimoine digital / télé-archéologie
- Révolution **méthodologique**
 - Précision, vitesse
 - Passage à l'échelle reste un défis



credit: tuck mapping solutions, clearpath robotics

Complexité de l'Analyse 3D

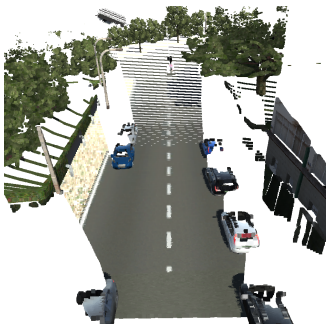
- Volume de donnée



credit: Gaidon2016, Engelmann2017, Hackel2017

Complexité de l'Analyse 3D

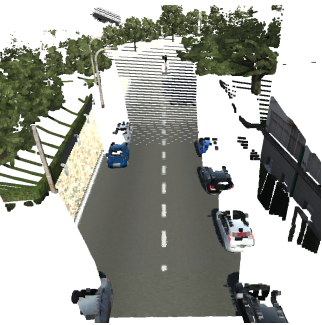
- Volume de donnée
- Absence de grille régulière



credit: Gaidon2016, Engelmann2017, Hackel2017

Complexité de l'Analyse 3D

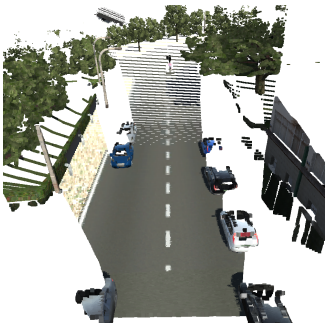
- Volume de donnée
- Absence de grille régulière
- Invariance par permutation



credit: Gaidon2016, Engelmann2017, Hackel2017

Complexité de l'Analyse 3D

- Volume de donnée
- Absence de grille régulière
- Invariance par permutation
- Parcimonie



credit: Gaidon2016, Engelmann2017, Hackel2017

Complexité de l'Analyse 3D

- Volume de donnée
- Absence de grille régulière
- Invariance par permutation
- Parcimonie
- Densité variable



credit: Gaidon2016, Engelmann2017, Hackel2017

Complexité de l'Analyse 3D

- Volume de donnée
- Absence de grille régulière
- Invariance par permutation
- Parcimonie
- Densité variable
- Artefacts d'acquisition



credit: Gaidon2016, Engelmann2017, Hackel2017

Complexité de l'Analyse 3D

- Volume de donnée
- Absence de grille régulière
- Invariance par permutation
- Parcimonie
- Densité variable
- Artefacts d'acquisition
- Occlusions



credit: Gaidon2016, Engelmann2017, Hackel2017

Complexité de l'Analyse 3D

- Volume de donnée
- Absence de grille régulière
- Invariance par permutation
- Parcimonie
- Densité variable
- Artefacts d'acquisition
- Occlusions
- Apprentissage par batch



credit: Gaidon2016, Engelmann2017, Hackel2017

1 Motivation

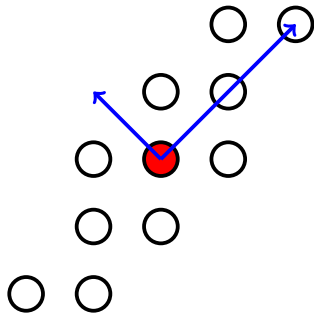
2 Approche Traditionnelle

3 Apprentissage Profond pour la 3D

4 Passage à l'échelle

Classification de Points

- **Step 1:** calcul de descripteur géométriques de points 3D:
 - positions des 50 voisins
 - matrice 3×3 de covariance spatiale
 - valeurs propres $\lambda_1, \lambda_2, \lambda_3$
 - indicateurs de dimensionnalité

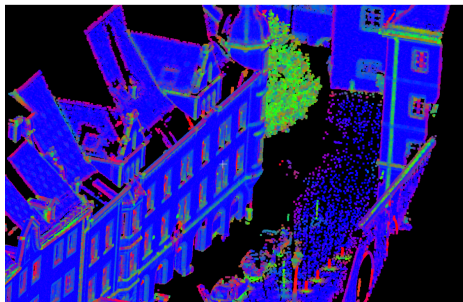


$$\text{Lin} = \frac{\sqrt{\lambda_1} - \sqrt{\lambda_2}}{\sqrt{\lambda_1}}$$

$$\text{Pla} = \frac{\sqrt{\lambda_2} - \sqrt{\lambda_3}}{\sqrt{\lambda_1}}$$

$$\text{Sca} = \frac{\sqrt{\lambda_3}}{\sqrt{\lambda_1}}$$

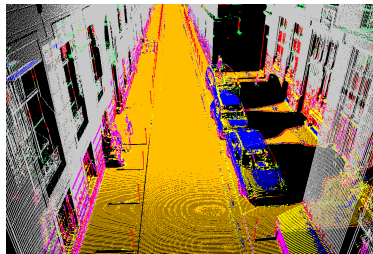
- **Step 1:** calcul de descripteur géométriques de points 3D:
 - positions des 50 voisins
 - matrice 3×3 de covariance spatiale
 - valeurs propres $\lambda_1, \lambda_2, \lambda_3$
 - indicateurs de dimensionnalité



Linéarité
Planarité
Diffusion

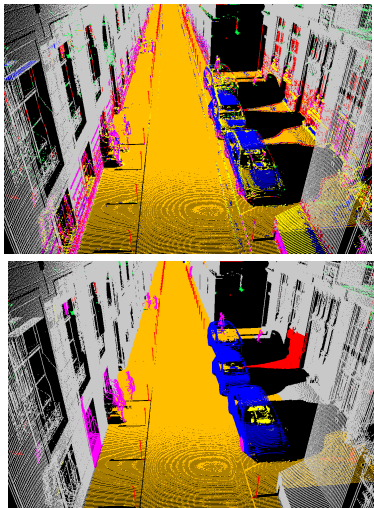
Classification de Points

- **Step 1:** calcul de descripteur géométriques de points 3D:
 - positions des 50 voisins
 - matrice 3×3 de covariance spatiale
 - valeurs propres $\lambda_1, \lambda_2, \lambda_3$
 - indicateurs de dimensionnalité
- **Step 2:**
 - Concaténation avec radiométrie, elevation, etc...
 - classification (RF, SVM, etc...)



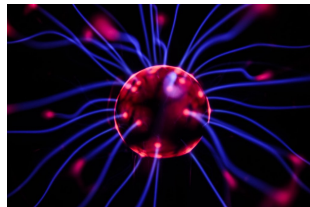
Classification de Points

- **Step 1:** calcul de descripteur géométriques de points 3D:
 - positions des 50 voisins
 - matrice 3×3 de covariance spatiale
 - valeurs propres $\lambda_1, \lambda_2, \lambda_3$
 - indicateurs de dimensionnalité
- **Step 2:**
 - Concaténation avec radiométrie, elevation, etc...
 - classification (RF, SVM, etc...)
- **Step 3:** régularisation spatiale (CRFs, MRFs, structured optimization, etc...)



- 1 Motivation
- 2 Approche Traditionnelle
- 3 Apprentissage Profond pour la 3D
- 4 Passage à l'échelle

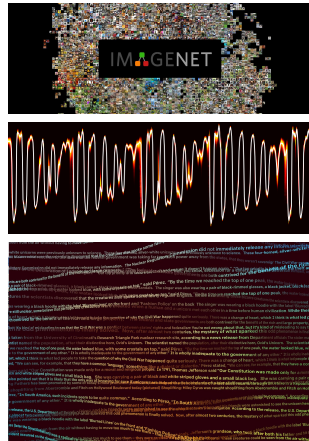
- **Deep Learning:** approche d'apprentissage machine basé sur l'usage de neurones artificiels.



credit: towardsdatascience, deepmind, techcrunch, spar3d

Présentation

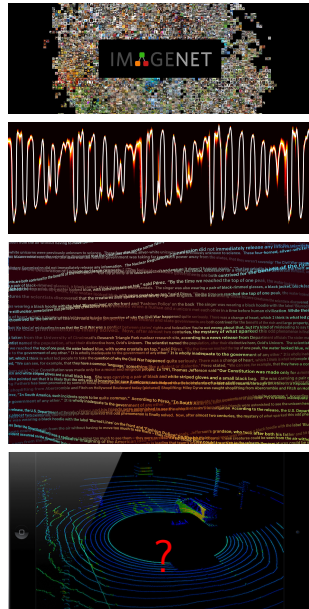
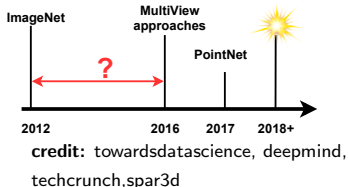
- **Deep Learning:** approche d'apprentissage machine basé sur l'usage de neurones artificiels.
- **Champs d'application:** Très efficace pour l'image, le son et le texte.



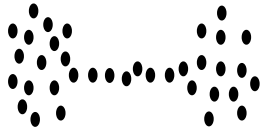
credit: towardsdatascience, deeplearning, techcrunch, spar3d

Présentation

- **Deep Learning:** approche d'apprentissage machine basé sur l'usage de neurones artificiels.
- **Champs d'application:** Très efficace pour l'image, le son et le texte.
- **Et la 3D? Est-ce vraiment plus dur?**



Nuages de points vus comme:



Ensemble de coordonées

PointNet, Rand-LANet

Transformers

See review by Guo *et al.* PAMI 2020

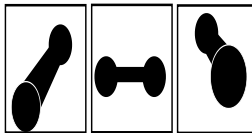
Nuages de points vus comme:



Ensemble de coordonées

PointNet, Rand-LANet

Transformers

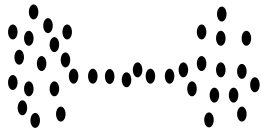


Ensemble d'image

SnapNet, MVNet

See review by Guo *et al.* PAMI 2020

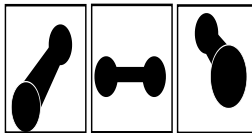
Nuages de points vus comme:



Ensemble de coordonées

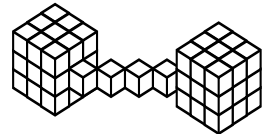
PointNet, Rand-LANet

Transformers



Ensemble d'image

SnapNet, MVNet



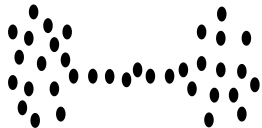
Grille de voxels

MinkowskiNet, Sparse-Conv

OctNet

See review by Guo *et al.* PAMI 2020

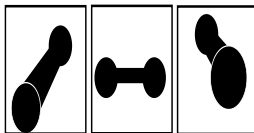
Nuages de points vus comme:



Ensemble de coordonées

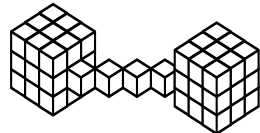
PointNet, Rand-LANet

Transformers



Ensemble d'image

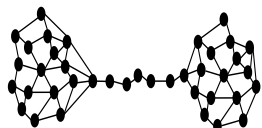
SnapNet, MVNet



Grille de voxels

MinkowskiNet, Sparse-Conv

OctNet

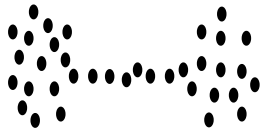


Un graphe

ECC, DGCNN

See review by Guo *et al.* PAMI 2020

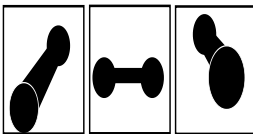
Nuages de points vus comme:



Ensemble de coordonées

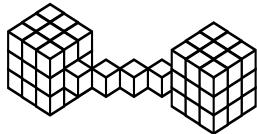
PointNet, Rand-LANet

Transformers



Ensemble d'image

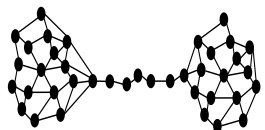
SnapNet, MVNet



Grille de voxels

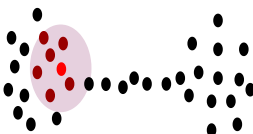
MinkowskiNet, Sparse-Conv

OctNet



Un graphe

ECC, DGCNN



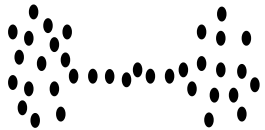
fonction dans espace continu

KPConv, ConvPoint

PointCNN

See review by Guo *et al.* PAMI 2020

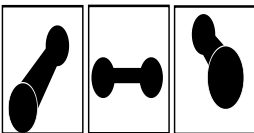
Nuages de points vus comme:



Ensemble de coordonées

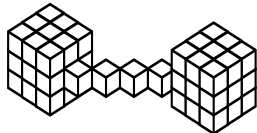
PointNet, Rand-LANet

Transformers



Ensemble d'image

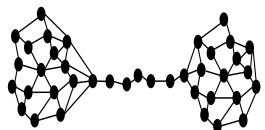
SnapNet, MVNet



Grille de voxels

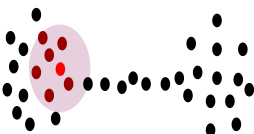
MinkowskiNet, Sparse-Conv

OctNet



Un graphe

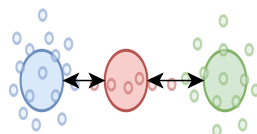
ECC, DGCNN



fonction dans espace continu

KPConv, ConvPoint

PointCNN



Graphe de superpoints

SPG, SSP

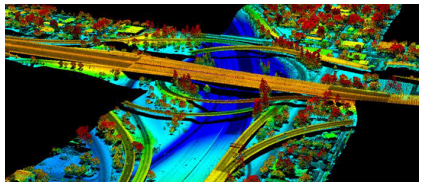
OccuSeg

See review by Guo et al. PAMI 2020

- 1 Motivation
- 2 Approche Traditionnelle
- 3 Apprentissage Profond pour la 3D
- 4 Passage à l'échelle

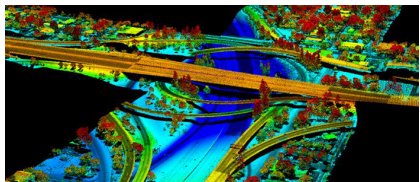
Pourquoi passer à l'échelle

- **Problème:** les méthodes précédentes sont gourmande en mémoire et compute.



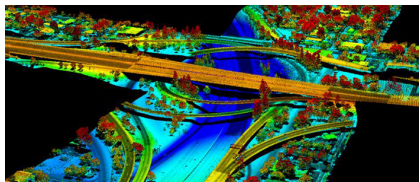
Pourquoi passer à l'échelle

- **Problème:** les méthodes précédentes sont gourmande en mémoire et compute.
- Ne peuvent être utilisées que pour quelques milliers de points.



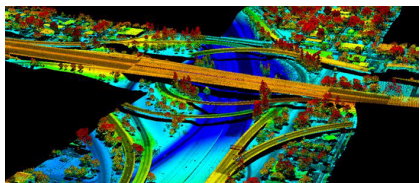
Pourquoi passer à l'échelle

- **Problème:** les méthodes précédentes sont gourmande en mémoire et compute.
- Ne peuvent être utilisées que pour quelques milliers de points.
- **Stratégies Naïves:**
 - **Sous-échantillonage:** perte d'information.



Pourquoi passer à l'échelle

- **Problème:** les méthodes précédentes sont gourmande en mémoire et compute.
- Ne peuvent être utilisées que pour quelques milliers de points.
- **Stratégies Naïves:**
 - **Sous-échantillonage:** perte d'information.
 - **Fenêtre glissante:** perte de la structure globale.

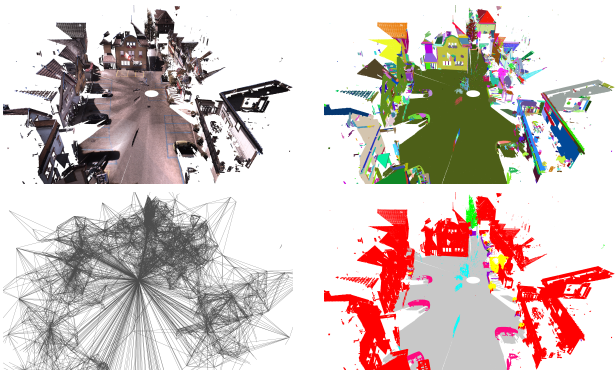


credit: tuck mapping solution

SuperPoint-Graph

- **Observation:**

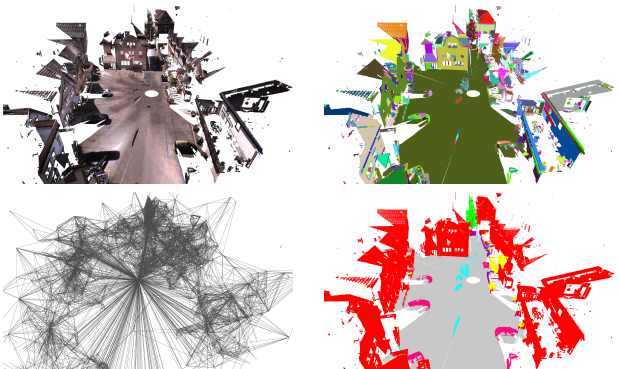
$n_{\text{points}} \gg n_{\text{objects}}$.



Landrieu&Simonovski, CVPR 2018

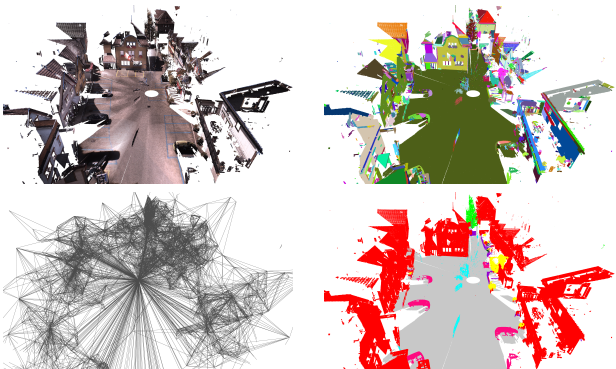
SuperPoint-Graph

- **Observation:**
 $n_{\text{points}} \gg n_{\text{objects}}$.
- Partition en superpoints avec formes simples.



Landrieu&Simonovski, CVPR 2018

- **Observation:**
 $n_{\text{points}} \gg n_{\text{objects}}$.
- Partition en superpoints avec formes simples.
- Beaucoup moins de superpoints que de points, contexte accessible par un graphe d'adjacence.

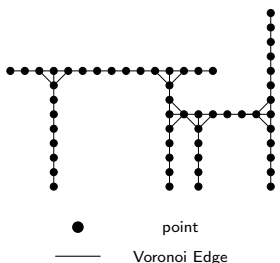


Landrieu&Simonovski, CVPR 2018

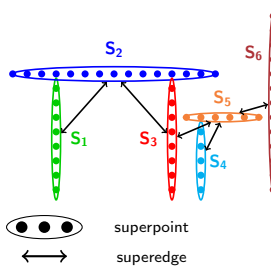
Pipeline

Step	Complexité	Algorithm
Geometric Partition en formes simples	very high 10^8 points	ℓ_0 -cut pursuit
Superpoint embedding learning shape descriptors	low subsampling to 128 points	PointNet
Contextual Segmentation leveraging the global structure	very low ~ 1000 vertices	ECC with GRUs

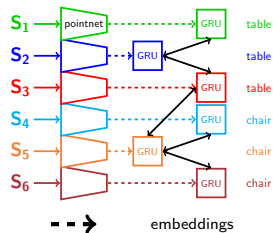
Pipeline



(a) Point cloud



(b) Superpoint graph

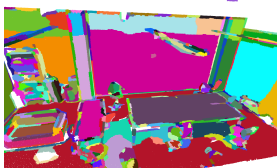


(c) Convolution Network

Partition

$$f^* = \operatorname{argmin}_{f \in \mathbb{R}^{C \times m}} \sum_{i \in C} \|f_i - e_i\|^2 + \sum_{(i,j) \in E} w_{i,j} [f_i \neq f_j],$$

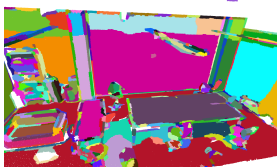
- $e \in \mathbb{R}^{C \times m}$: descripteurs "à la main" de la géométrie/radiométrie locales .



Partition

$$f^* = \operatorname{argmin}_{f \in \mathbb{R}^{C \times m}} \sum_{i \in C} \|f_i - e_i\|^2 + \sum_{(i,j) \in E} w_{i,j} [f_i \neq f_j],$$

- $e \in \mathbb{R}^{C \times m}$: descripteurs "à la main" de la géométrie/radiométrie locales .
- f^* : approximation constante par morceaux de e .



Partition

$$f^* = \operatorname{argmin}_{f \in \mathbb{R}^{C \times m}} \sum_{i \in C} \|f_i - e_i\|^2 + \sum_{(i,j) \in E} w_{i,j} [f_i \neq f_j],$$

- $e \in \mathbb{R}^{C \times m}$: descripteurs "à la main" de la géométrie/radiométrie locales .
- f^* : approximation constante par morceaux de e .
- Solution approximée efficacement avec ℓ_0 -cut pursuit.



Landrieu & Obozinski, SIIMS 2017, Raguet & Landrieu, ICML 2018, ICML-W 2019

Partition

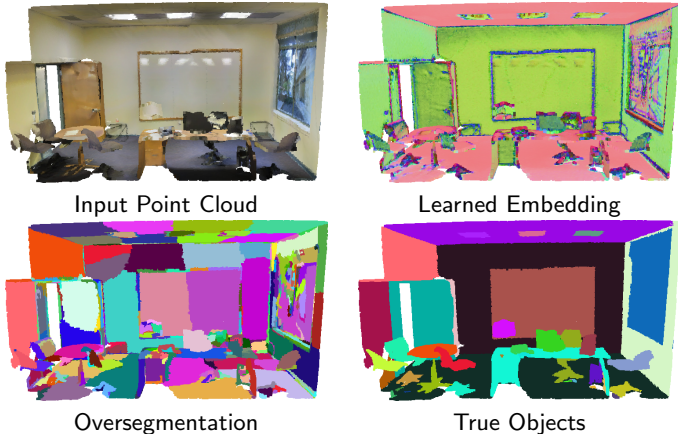
$$f^* = \operatorname{argmin}_{f \in \mathbb{R}^{C \times m}} \sum_{i \in C} \|f_i - e_i\|^2 + \sum_{(i,j) \in E} w_{i,j} [f_i \neq f_j],$$

- $e \in \mathbb{R}^{C \times m}$: descripteurs "à la main" de la géométrie/radiométrie locales .
- f^* : approximation constante par morceaux de e .
- Solution approximée efficacement avec ℓ_0 -cut pursuit.
- **Problème:** toute erreur de partition engendre une erreur de prédiction...



Landrieu & Obozinski, SIIMS 2017, Raguet & Landrieu, ICML 2018, ICML-W 2019

Apprendre à Segmenter



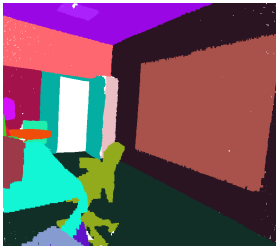
- 1) Descripteur de points appris pour présenter de forts contrastes à l'interface entre objets...
- 2) ... qui peuvent servir d'input à un algorithme de segmentation.
→ Nécessite 5 fois moins de superpoints que l'état de l'art.

Landrieu&Boussaha, CVPR 2019

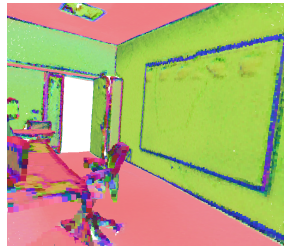
Illustration



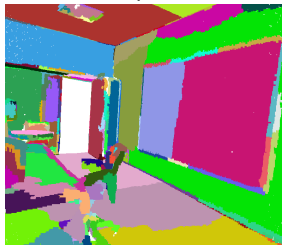
Input



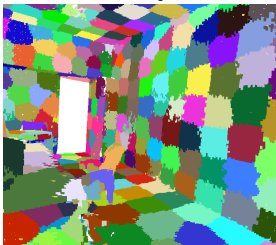
Vrais objets



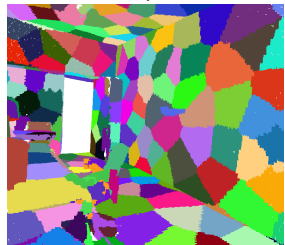
Descripteurs



Graph-LCE (ours)



VCCS, Papon et al. 2013

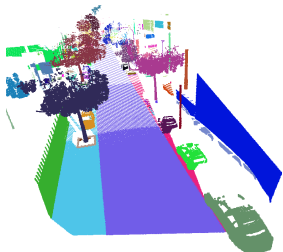


Lin et al. 2018

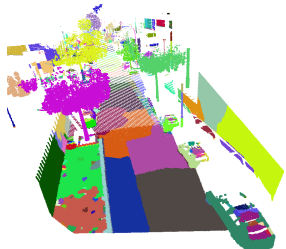
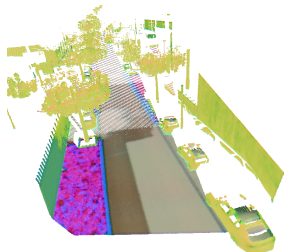
Illustration



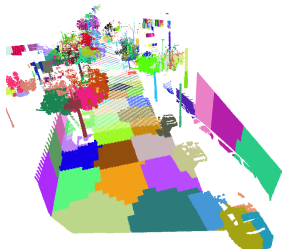
InVrais objets



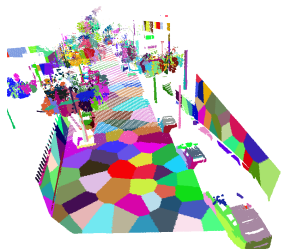
Descripteurs



Graph-LCE (ours)



VCCS, Papon et al. 2013



Lin et al. 2018

Résultats Quantitatifs sur S3DIS:



Method	OA	mIoU
6-fold cross validation		
PointNet	78.5	47.6
Engelmann <i>et al.</i> 2017	81.1	49.7
PointNet++	81.0	54.5
<u>SPG</u>	<u>85.5</u>	<u>62.1</u>
Engelmann <i>et al.</i> 2018	84.0	58.3
PointCNN	88.1	65.4
ConvPoint 2019	88.1	68.2
<u>SSP + SPG</u>	<u>87.9</u>	<u>68.4</u>
PointSIFT	88.7	70.2
MinkowskiNet	86.0	65.9
KPConv	88.8	70.6

Table: Etat de l'art jan 2020: **OA** : Overall Accuracy, **mAcc** : average class accuracy, **mIoU**: average class Intersection over Union.

- **Quel algorithme utiliser?**

- **Quel algorithme utiliser?**

- Commencer par un algorithme classique (RF) comme baseline / nettoyage des données

- **Quel algorithme utiliser?**

- Commencer par un algorithme classique (RF) comme baseline / nettoyage des données
- Puis PointNet + fenêtre glissante.

- **Quel algorithme utiliser?**

- Commencer par un algorithme classique (RF) comme baseline / nettoyage des données
- Puis PointNet + fenêtre glissante.
- Si besoin de plus d'expressivité, MinkowskiNet/KPconv/ConvPoint.

- **Quel algorithme utiliser?**

- Commencer par un algorithme classique (RF) comme baseline / nettoyage des données
- Puis PointNet + fenêtre glissante.
- Si besoin de plus d'expressivité, MinkowskiNet/KPconv/ConvPoint.
- Si besoin de vitesse + structure globale: SPG.

Complementarity of 2D and 3D Modalities

- **Images:** texture and context
- **Point Clouds:** geometry
- **Objective:** combine both modalities



Robert, Vallet, Landrieu, CVPR 2022

Complementarity of 2D and 3D Modalities

- **Images:** texture and context
- **Point Clouds:** geometry
- **Objective:** combine both modalities
- Point cloud colorization: lose important information



Robert, Vallet, Landrieu, CVPR 2022

Complementarity of 2D and 3D Modalities

- **Images:** texture and context
- **Point Clouds:** geometry
- **Objective:** combine both modalities
- Point cloud colorization: lose important information



Robert, Vallet, Landrieu, CVPR 2022

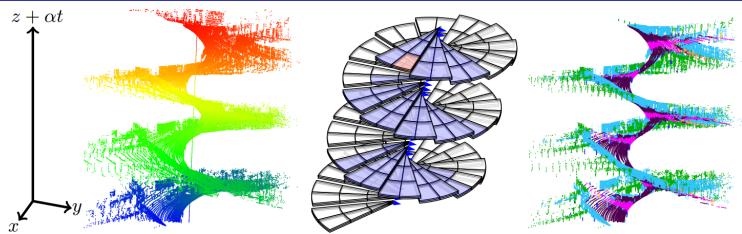
Complementarity of 2D and 3D Modalities

- **Images:** texture and context
- **Point Clouds:** geometry
- **Objective:** combine both modalities
- Point cloud colorization: lose important information
- Deep Multi-View Aggregation:
 - leverage *viewing conditions*
 - from raw p.c. and images w poses
 - no mesh, depth, colorization needed
 - SOTA on S3DIS and KITTI360



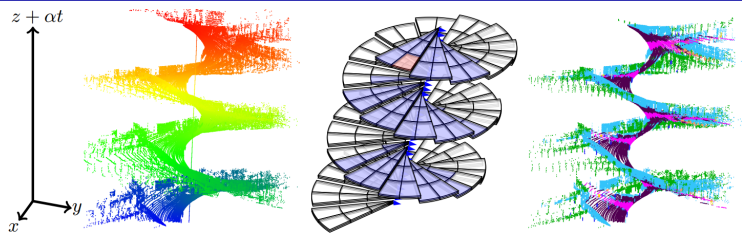
Robert, Vallet, Landrieu, CVPR 2022

Spatio-Temporal Helix



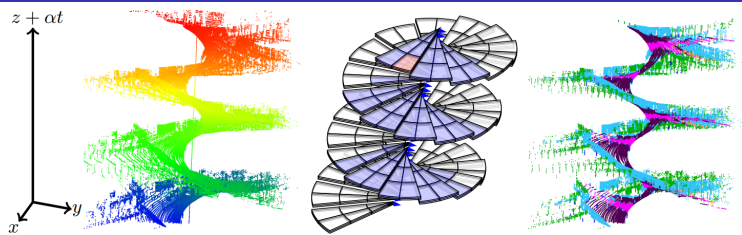
- Rotating LiDAR acquisitions have a complex spatio-temporal structure

Spatio-Temporal Helix



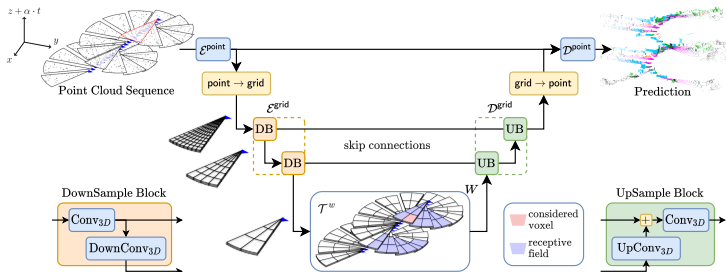
- Rotating LiDAR acquisitions have a complex spatio-temporal structure
- Most methods process full rotations at once \Rightarrow 100-200ms latency

Spatio-Temporal Helix



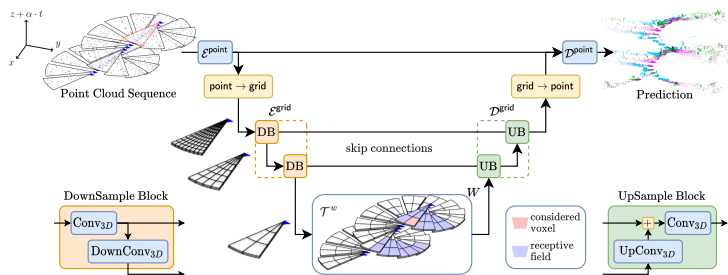
- Rotating LiDAR acquisitions have a complex spatio-temporal structure
- Most methods process full rotations at once \Rightarrow 100-200ms latency
- We split the acquisition into slices of rotation

Spatio-Temporal Helix



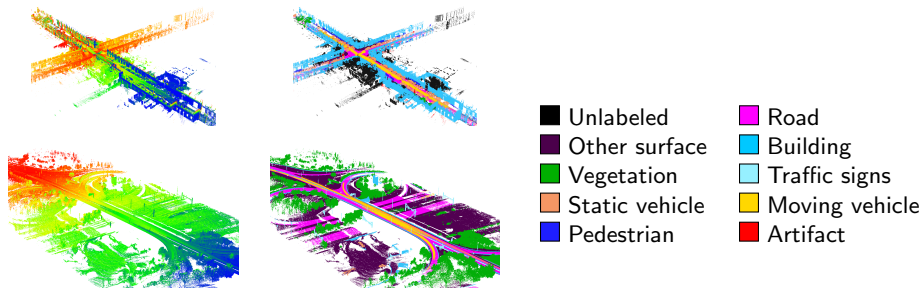
- Rotating LiDAR acquisitions have a complex spatio-temporal structure
- Most methods process full rotations at once \Rightarrow 100-200ms latency
- We split the acquisition into slices of rotation
- Hybrid Spatio-Temporal Transformer:
 - Latency $\div 5$, model size $\div 50$, same accuracy

Spatio-Temporal Helix



- Rotating LiDAR acquisitions have a complex spatio-temporal structure
- Most methods process full rotations at once \Rightarrow 100-200ms latency
- We split the acquisition into slices of rotation
- Hybrid Spatio-Temporal Transformer:
 - Latency $\div 5$, model size $\div 50$, same accuracy
 - Real-time, portable, online semantic segmentation!

Spatio-Temporal Helix



- Rotating LiDAR acquisitions have a complex spatio-temporal structure
- Most methods processes full rotations at once \Rightarrow 100-200ms latency
- We split the acquisition into slices of rotation
- Hybrid Spatio-Temporal Transformer:
 - Latency $\div 5$, model size $\div 50$, same accuracy
 - Real-time, portable, online semantic segmentation!
- A new large-scale benchmark with 10B points and useful metadata